

## ارزیابی علل بروز چند شاخگی در لاین مادری هیبرید آذرگل آفتابگردان (Helianthus annus L.) Assessment of branching phenomenon in the female parental inbred line of hybrid sunflower (*Helianthus annus* L.) cv. Azargol

سیده منیره سجادی<sup>۱</sup>، مسعود سلطانی نجف آبادی<sup>۲</sup> و بهرام ملکی زنجانی<sup>۳</sup>

### چکیده

سجادی، س.م.، م. سلطانی نجف آبادی و ب. ملکی زنجانی. ۱۳۹۶. ارزیابی علل بروز چند شاخگی در لاین مادری هیبرید آذرگل آفتابگردان (Helianthus annus L.). مجله علوم زراعی ایران. ۱۹(۳): ۲۶۹-۲۵۵.

حفظ خلوص ژنتیکی والدین ارقام هیبرید، از ضرورت‌های تجاری سازی این ارقام است، معهداً تولید فنوتیپ‌های جدید، باعث ایجاد شبهه از بین رفتن خلوص ژنتیکی این والدین شده و تولید بذرها یکنواخت ارقام هیبرید را با چالش مواجه می‌سازد. بروز انواع چندشاخه در لاین مادری هیبرید آذرگل آفتابگردان از جمله این موارد چالش برانگیز محسوب می‌شود. این آزمایش در چند مرحله شامل ۱- مرحله ژنتیکی مشتمل بر انواع تلاقی‌ها بین بوته‌های تک‌شاخه، دو‌شاخه و سه‌شاخه (بوته‌های مشکوک) طی سال‌های ۱۳۹۲ تا ۱۳۹۴ در موسسه تحقیقات اصلاح و تهیه نهال و بذر انجام شده و نتاج حاصله با والد تک‌شاخه تلاقی برگشتی داده شدند، ۲- مرحله مولکولی که طی آن نشانگرهای مولکولی مربوط به چندشاخگی که قبلاً شناسایی شده بودند روی بوته‌هایی از والد مذکور و نیز ژنوتیپ‌های تک‌شاخه و چندشاخه واقعی آفتابگردان آزمون شدند و ۳- مرحله بیوانفورماتیک که طی آن وجود عناصر سیس مرتبط با پاسخ ژن به عوامل محیطی در پرومومتر ژن‌های عامل چندشاخگی که در سایر گونه‌های گیاهی شناسایی شده بودند، مورد بررسی قرار گرفتند. نتایج تجزیه و تحلیل ژنتیکی نشان داد که در تمام تلاقی‌ها، کلیه نتاج (۲۳۹ بوته) تک‌شاخه بودند. در ارزیابی مولکولی، الگوی نواربندی بوته‌های مشکوک با الگوی نواربندی لاین‌های تک‌شاخه واقعی کاملاً مشابه بود و هر دوی آنها متفاوت از الگوی نواربندی لاین‌های چندشاخه واقعی بودند. در بررسی‌های بیوانفورماتیکی مشخص شد که پرومومتر ژن‌های عامل شاخه دهی سایر گونه‌های گیاهی واحد حداقل یک عنصر سیس مرتبط با پاسخ به عوامل محیطی نظیر سرما و خشکی بودند. بر اساس نتایج مراحل مختلف این تحقیق، دلایل کافی جهت دخالت عوامل ژنتیکی در بروز پدیده چندشاخگی در لاین مورد بررسی بدست نیامد.

واژه‌های کلیدی: آفتابگردان، چندشاخگی، عناصر سیس و نشانگرهای مولکولی.

تاریخ دریافت: ۱۳۹۶/۰۳/۱۰ تاریخ پذیرش: ۱۳۹۶/۰۷/۱۹  
این مقاله مستخرج از طرح تحقیقاتی شماره ۹۱۲۰۰-۰۳-۰۳-۰۳ مصوب سازمان تحقیقات، آموزش و ترویج کشاورزی می‌باشد.  
۱- دانشجوی سابق کارشناسی ارشد دانشکده کشاورزی دانشگاه زنجان  
۲- عضو هیات علمی موسسه تحقیقات اصلاح و تهیه نهال و بذر، سازمان تحقیقات، آموزش و ترویج کشاورزی (مکاتبه کننده)  
پست الکترونیک: (m.soltanioil@yahoo.com)  
۳- استادیار دانشکده کشاورزی دانشگاه زنجان

یک کنترل مغلوب الیگوژنیکی با تأثیر متقابل تکمیلی را پیشنهاد کردند. نتایج تحقیقات دیگری نیز نشان دادند که شاخه‌دهی ساقه توسط آلل‌های نهفته کنترل می‌شود. این آلل‌ها در یک لوکوس قرار دارند و این نشان دهنده وجود یک سری آلل‌های چندگانه است. به نظر می‌رسد که این آلل‌ها موتانت‌هایی از انواع وحشی‌شان هستند (Sanda *et al.*, 1999). بورک و همکاران (Burke *et al.*, 2002) عنوان کردند که اساس ژنتیکی کنترل شاخه‌دهی در آفتابگردان بر وجود چندین لوکوس کنترل کننده صفت کمی (QTL) با اشارات کوچک که در سراسر ژنوم گیاه توزیع شده است، قرار دارد. گزارش شده است که انواع شاخه‌دهی به وجود ژن‌های مختلف (*BrI-Br3*) و تعامل میان آنها بستگی دارد. آلل‌های نهفته (b1-b3) نیز می‌توانند شاخه‌دهی را کنترل کنند. این لوکوس‌ها اغلب وارد لاین‌های برگشت‌دهنده باروری می‌شوند تا این لاین‌ها واجد شاخه‌های فرعی فراوانی شوند (Terzic *et al.*, 2006).

تاکنون توالی ژنی و یا اطلاعات مولکولی در خصوص ژن‌های مسئول شاخه‌دهی در آفتابگردان گزارش نشده است. تنها گزارش موجود به استفاده از TRAP توسط روجاس-باروس و همکاران (Rojas-Barros *et al.*, 2008) مربوط می‌شود. این محققان با استفاده از هم‌ردیفی توالی ژن‌های عامل چندشاخگی در گیاهان گوناگون نظیر نخود فرنگی، توتون و ذرت، آغازگرهای ثابت طراحی نمودند و سپس در ترکیب با چندین آغازگر تصادفی، موفق به تمایز ژنوتیپ‌های چندشاخه از تک‌شاخه شدند.

تغییر اقلیم که پامد نخست آن گرم شدن کره زمین است، بر بسیاری از فرایندهای رشد و نموی گیاهان تاثیر می‌گذارد (Franks and Hoffmann, 2012). این اثرات اغلب با اثرات اپی‌ژنتیکی ترکیب شده و باعث بروز تغییرات ناهمسان در ریخته‌های ارثی مشابه می‌شود (Liu, 2013). لاین‌های اینبرد بواسطه چندین نسل متمادی خویش آمیزی دچار پس‌روی ناشی از

## مقدمه

آفتابگردان زراعی (*Helianthus annuus* L.) پس از سویا (*Glycine max* L.)، کلزا (*Brassica campestris* and *B. napus* L.) و بادام زمینی (*Arachis hypogaea* L.) چهارمین گیاه زراعی یکساله در جهان است که بخاطر روغن خوراکی آن کشت می‌شود (FAO 2014). کشت آفتابگردان عمده‌تاً به دو صورت؛ کشت ارقام آزاد گرده افshan و کشت ارقام هیرید صورت می‌گیرد. برای تولید موقیت آمیز یک هیرید و تداوم کشت آن، یکساختی هیرید در درجه اول اهمیت قرار دارد. خلوص ژنتیکی والدین از اصول اولیه و مهم تولید بذور هیرید می‌باشد. این خلوص باید همواره توسط دارندگان هسته اولیه والدین هیرید حفظ شود و از سوی نهادهای مسئول کنترل شود. در کشور ایران، موسسه تحقیقات ثبت و گواهی بذر و نهال متصدی این کنترل می‌باشد.

ارقام آفتابگردان زراعی که به منظور استخراج روغن کشت می‌شوند، در طی تکامل و اهلی‌سازی از فرم وحشی چندشاخه و بوته‌ای به فرم تک‌شاخه تبدیل شده‌اند (Mandel *et al.*, 2014). شاخه‌دهی در آفتابگردان وحشی اغلب توسط ژن‌های غالب کنترل می‌شود (Heiser 1954; Shull, 1908). در این خصوص یک تک ژن غالب (*Br*) توسط پوت (Putt, 1940) شناسایی شد. وی دو دهه بعد وجود یک آلل مغلوب b1 در لوکوسی دیگر (غیر از *Br*) را گزارش نمود که کنترل کننده شاخه‌دهی فراوان در آفتابگردان است (Putt, 1964). آلل b1 که مسئول شاخه‌دهی انتهایی است در تولید بذر هیرید به طور گسترده‌ای به کار گرفته شده است (Fick and Miller 1997). کواچیک و اسکالولد (Skaloud and Kovacik, 1990) وجود دو آلل b1 و b2 را در آفتابگردان مورد بررسی قرار دادند که در صورت هموزیگوس مغلوب بودن گیاهان شاخه‌دار را تولید نموده و بوجود آورنده نسبت تفکیک ۷:۹ (بدون شاخه: شاخه دهنده) بودند. این محققان وجود

هیبرید مربوطه به صورت تک شاخه (تک طبق) گزارش گردید. علاوه بر لاین یاد شده، سه نوع ماده ژنتیکی دیگر در این تحقیق مورد استفاده قرار گرفتند که عبارت بودند از: لاین اینبرد تک شاخه A-1221، لاین های اینبرد چندشاخه (RF154، R39 و R14)، و تک بوته های دو یا سه شاخه که در مزرعه تکثیر لاین A-19 مشاهده شدند و به شکل زیر نامگذاری شدند: #۱۹ (سه شاخه)، #۳# (دو شاخه)، #۶# (دو شاخه)، #۷# (دو شاخه)، #۸# (سه شاخه)، #۹# (سه شاخه)، #۱۳# (دو شاخه)، #۱۶# (دو شاخه) (جدول ۱). از بیش از سه شاخه و #۱۶# (دو شاخه) (جدول ۱). از آن جا که موضوع اصلی این تحقیق در خصوص بررسی علت چندشاخگی در بوته های اخیر بود، در پژوهش حاضر این بوته ها در مجموع "بوته های مشکوک" نامیده شدند.

این تحقیق در مزرعه تکثیر لاین A-19 موسسه تحقیقات اصلاح و تهیه نهال و بذر در سال ۱۳۹۲ شروع شد. در این مزرعه خطوط نر عقیم (A-line) و نگهدارنده (B-line) مربوط به لاین نر عقیم به نسبت شش خط نر عقیم و دو خط نگهدارنده کاشته شدند و تعدادی از بوته های مشکوک در خطوط نر عقیم و نگهدارنده با پوشاندن طبق، نشانه گذاری شدند. بوته های دوشاخه و سه شاخه ای که در بین خطوط لاین نگهدارنده دیده شدند به عنوان والد پدری در تلاقی ها استفاده شدند (جدول ۱). بذر لاین های اینبرد تک شاخه A-1221 و لاین های اینبرد چندشاخه RF154، R39 و R14 (از مجموعه ژرم پلاسم آفتابگردان موسسه تحقیقات اصلاح و تهیه نهال و بذر) در پاییز ۱۳۹۲ در گلخانه کشت شده و از برگ آنها برای تجزیه های مولکولی استفاده شد.

نتاج حاصل از تلاقی ها در سال دوم (۱۳۹۳) در مزرعه موسسه تحقیقات اصلاح و تهیه نهال و بذر و نیز در گلخانه های موسسه یاد شده کشت شده و فنوتیپ آنها از نظر شاخه دهی ثبت گردید. با توجه به اینکه همه

خویش آمیزی شده (Fehr *et al.*, 1987) و مستعد پاسخ به تغییرات محیطی ناشی از تغییر اقلیم و تغییرات اپی ژنتیکی می باشد.

نشانگر مولکولی TRAP (Target Region ) Amplification Polymorphism (Amplification Polymorphism) زمانی که اطلاعات توالی برای همه گونه ها در دسترس نمی باشد، نشانگر مناسبی برای شناسایی حضور و یا عدم حضور توالی خاصی در بین گونه های مختلف است. در این شرایط، ترکیب یک جفت آغازگر ثابت و تصادفی مورد استفاده قرار می گیرد. آغازگر ثابت بر اساس نواحی حفاظت شده ژن مورد نظر بین چندین گونه طراحی می شود و آغازگر تصادفی صرفاً برای افزایش امکان اتصال به DNA الگو و بالا بردن احتمال تکثیر به همراه آغازگر ثابت به کار می رود. از این سیستم نشانگری برای شناسایی ژن های آنالوگ مقاومت در ژرم پلاسم تربچه استفاده شده است (Cheng *et al.*, 2013). علاوه برای متمایز کردن لاین چند شاخه از تک شاخه در آفتابگردان، سیستم نشانگری TRAP کارآیی خوبی نشان داده است (Rojas-Barros *et al.*, 2008).

در سال های اخیر وقوع پدیده چندشاخگی در لاین والد مادری هیبرید آذرگل به موضوع چالش برانگیز تولید بذر این هیبرید در کشور تبدیل شده است، به گونه ای که تایید مزارع تولید بذر این هیبرید توسط موسسه تحقیقات ثبت و گواهی بذر و نهال کشور اغلب مقدور نبوده و به احتمال اختلاط ژنتیکی داده شده است. هدف این پژوهش، ارزیابی عوامل بروز چند شاخگی در این لاین آفتابگردان بوده است.

## مواد و روش ها

ماده ژنتیکی مورد استفاده در این پژوهش، لاین مادری هیبرید آذرگل آفتابگردان (*Helianthus annuus L.*) یعنی A-19 بود. این هیبرید در سال ۱۳۷۱ توسط موسسه تحقیقات اصلاح و تهیه نهال و بذر معرفی شده است. این لاین در زمان معرفی

## جدول ۱- مشخصات مواد ژنتیکی آفتابگردان مورد ارزیابی و انواع تلاقی‌های انجام شده

Table 1. Characterization of the sunflower genetic materials and the of crosses

والد پدری Paternal line	والد مادری Maternal line	نتائج نسل اول First generation (F <sub>1</sub> )	ناتج تلاقی F <sub>1</sub> با والد نگهدارنده تک شاخه Progeny of crossing F <sub>1</sub> with single head maintainer parent	اندازه جمعیت ناتج Population size of progenies
SH تک شاخه*	SH تک شاخه	SH تک شاخه	SH تک شاخه	18
SH تک شاخه	#3 (TH) دوشاخه #3	SH تک شاخه	SH تک شاخه	13
SH تک شاخه	#6 (TH) دوشاخه #6	SH تک شاخه	SH تک شاخه	14
§TH دوشاخه	#6 (TH) دوشاخه #6	SH تک شاخه	SH تک شاخه	16
TH دوشاخه	#16 (TH) دوشاخه #16	SH تک شاخه	SH تک شاخه	18
TH دوشاخه	SH تک شاخه	SH تک شاخه	SH تک شاخه	17
TH دوشاخه	SH تک شاخه	SH تک شاخه	SH تک شاخه	22
ThH <sup>£</sup> سه شاخه	SH تک شاخه	SH تک شاخه	SH تک شاخه	14
ThH سه شاخه	SH تک شاخه	SH تک شاخه	SH تک شاخه	21
ThH سه شاخه	#6 (TH) دوشاخه #6	SH تک شاخه	SH تک شاخه	31
ThH سه شاخه	#16 (TH) دوشاخه #16	SH تک شاخه	SH تک شاخه	18
ThH سه شاخه	#2 (ThH) سه شاخه #2	SH تک شاخه	SH تک شاخه	26
ThH سه شاخه	#8 (ThH) سه شاخه #8	SH تک شاخه	SH تک شاخه	11

\*: SH: Single head, §TH: Two heads, £ThH: Three heads

*RNaseI*, غلظت DNA به روش اسپکتروفتومتری با قرائت در طول موج های ۲۶۰ و ۲۸۰ نانومتر تعیین شد. کیفیت و سلامت DNA تیمار شده با *RNaseI* با بارگیری روی ژل آگارز یک درصد مورد ارزیابی گرفت. (منظور از DNA، در واقع DNA تیمار شده با *RNaseI* می باشد). حذف RNA از محیط DNA، امکان غلظت سنجه دقیق برای تشکیل بالک‌های DNA را فراهم می سازد. مقدار ۳۰ نانو گرم از DNA هر یک از لاین‌های اینبرد تک شاخه 1221-A-19 و A-19 با یکدیگر مخلوط شده و بالک تک شاخه تشکیل داده شد. مخلوط ۳۰ نانو گرم DNA هر یک از لاین‌های اینبرد چندشاخه (RF154 و R39) نیز تشکیل بالک چندشاخه را داد. تشکیل این بالک‌ها باعث کاهش تعداد واکنش زنجیره‌ای پلی‌مراز (PCR) گردید. با توجه به اینکه اطلاعات مولکولی و توالی برای ژن‌های عامل چند شاخگی در آفتابگردان منتشر نشده است، برای انجام PCR از سیستم نشانگری TRAP موجود در نمونه‌ها، از تیمار با *RNaseI* (Rojas-Barros et al., 2008) استفاده شد. آغازگرهای (Thermo Fisher Scientific) مطابق دستورالعمل شرکت سازنده استفاده شد. بعد از تیمار با

نتاج نرعمیم بودند، برای ادامه تلاقی‌ها و ایجاد نسل در حال تفرق، نتاج همه تلاقی‌ها به عنوان پایه مادری با لاین نگهدارنده تک شاخه به عنوان والد پدری تلاقی داده شدند و نتاج آن تلاقی‌ها در سال سوم (۱۳۹۴) در مزرعه موسسه تحقیقات اصلاح و تهیه نهال و بذر کشت شده و فنوتیپ آن‌ها از نظر تعداد طبق ثبت گردید (جدول ۱).

آزمایش مزرعه‌ای در سال اول (۱۳۹۲)، سال دوم (۱۳۹۳) و سال سوم (۱۳۹۴) با فاصله روی ردیف کاشت ۲۵ و بین ردیف ۶۰ سانتی‌متر انجام شد. آبیاری با دور ۱۰ روز یک بار و به صورت نشی انجام گرفت. در کشت گلخانه‌ای شرایط دمایی روز ۳۲ و شب ۲۵ درجه سانتی گراد بود. برای استخراج DNA ژنومی، جوان‌ترین برگ بوته‌ها برداشت شده و سریعاً به فریزر -۷۰ درجه سانتی گراد انتقال داده شد.

استخراج DNA ژنومی به روش Li و همکاران (Li et al., 2007) و بر پایه روش CTAB انجام گرفت. برای حذف RNA موجود در نمونه‌ها، از تیمار با (Thermo Fisher Scientific) مطابق دستورالعمل شرکت سازنده استفاده شد. بعد از تیمار با

" ارزیابی علل بروز چند شاخگی در لاین مادری..."

مورد استفاده (ثابت و تصادفی) در جدول ۲ ارائه شده است.

در برنج، باقلاء، نخود و آراییدوپسیس طراحی شده‌اند (Rojas-Barros *et al.*, 2008). مشخصات آغازگرهای

جدول ۲- مشخصات آغازگرهای مورد استفاده در آزمایش (Rojas-Barros *et al.*, 2008)

Table 2. Characteristics for primers used in this experiment (Rojas-Barros *et al.*, 2008)

نام آغازگر Primer name	توالی آغازگر (5'-3') Primer sequence (5'-3')	نوع آغازگر Primer type	توصیف Description
MOC1R3	CTAACTAGAGATCGAGTAGC	ثابت Fixed	بر اساس ژن <i>MOCI</i> از برنج According to <i>MOCI</i> in rice
Ga5	GGAACCAACACATGAAGA	صادفی Arbitrary	-
CTG5177L	TGGCACTTCCCTAACAAAGAG	ثابت Fixed	مشابه ژن‌های شاخه‌دهی <i>MAX3, MAX4, RMS1</i> Similar to branching genes <i>MAX3, MAX4, RMS1</i>
Odd26	CTATCTCTGGGACCAAAC	صادفی Arbitrary	-

آگارز ۱/۵ در صد بارگیری و از یکدیگر تفکیک شدند. پس از آن ژل در محلول معرف safestain رنگ آمیزی و زیر نور ماوراء بنفس آشکار سازی شد.

با توجه به اینکه اطلاعات مولکولی و توالی ژن‌های عامل چند شاخگی در آفتابگردان منتشر نشده بود، از اطلاعات گونه آراییدوپسیس به عنوان گیاه مدل استفاده شد. با استفاده از واژه کلیدی "Branching genes" در بانک اطلاعاتی NCBI، ژن‌های عامل شاخه دهی آراییدوپسیس و ID مربوط به هر ژن استخراج شد (جدول ۳) و توالی پرموتوئی آن‌ها (۳۰۰۰ جفت باز بالادست ژن) از سایت <http://www.arabidopsis.org> (بالادست ژن) از سایت <http://www.dna.affrc.go.jp/PLACE/> (ایترنوتی) استخراج شدند.

### نتایج و بحث

نتایج  $F_1$  حاصل از کلیه تلاقی‌ها در گلخانه و مزرعه دارای یک طبق بودند (جدول ۱). نتایج حاصل

ترکیب‌های آغازگری CTG5177L/Odd26، MOC1R3/Ga5 و CTG5177L/Odd26 بررسی‌های مولکولی مورد استفاده قرار گرفت. واکنش زنجیره‌ای پلی‌مراز با استفاده از دستگاه بایوراد در حجم نهایی ۱۵ میکرولیتر شامل اجزای زیر بود: ۲۰-۱۰ نانوگرم DNA (مربوط به یک نمونه و یا از بالک)، ۱/۵ میکرولیتر از بافر 10X PCR، یک میکرولیتر از محلول ۲۵ میلی مولار  $MgCl_2$ ، یک میکرولیتر مخلوط پنج میلی مولار  $dNTPs$ ،  $0/۳$  پیکومول از هر آغازگر در مخلوط آغازگر تصادفی و ثابت و ۱/۵ واحد Taq DNA polymerase (سینا کلون). نیمrix حرارتی واکنش زنجیره‌ای پلی‌مراز عبارت بود از: واسرشته سازی اولیه DNA در دمای ۹۶ درجه سانتی گراد به مدت سه دقیقه، و سپس پنج چرخه دمای سانتی گراد برای ۳۰ ثانیه، ۳۷ سانتی گراد به مدت ۴۵ ثانیه و ۷۲ سانتی گراد به مدت ۴۰ ثانیه، آنگاه ۳۳ چرخه دمای سانتی گراد به مدت ۳۰ ثانیه، ۵۵ درجه به مدت ۴۵ ثانیه و ۷۲ سانتی گراد به مدت ۴۰ ثانیه و سرانجام ۷۲ سانتی گراد به مدت پنج دقیقه. پس از انجام واکنش زنجیره‌ای پلی‌مراز، محصولات PCR روی ژل

### جدول ۳- اسامی ژن‌های مورد مطالعه و ID آن‌ها (پایگاه اطلاعات NCBI)

Table 3. Name of genes and their IDs in the experiment (NCBI)

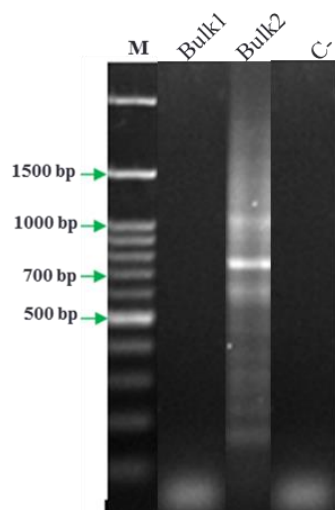
نام ژن	نام اختصاری	ID ژن	ویژگی
AUXIN RESISTANT 1	AXR1	At1g05180	پروتئین وابسته به E1
LEAFY	LAS	At1g55580	فاکتور رونویسی GRAS
LATERAL SUPPRESSOR	LFY	At5g61850	فاکتور رونویسی GRAS transcription factor
MORE AXILLARY GROWTH 1	MAX1	At2g26170	ستوکروم (CYP711A) P450
MORE AXILLARY GROWTH 2	MAX2	At2g42620	پروتئین F-box
MORE AXILLARY GROWTH 3	MAX3	At2g44990	دی‌اکسیتاز شکاف دهنده کاروتینید ۷ (CCD7)
MORE AXILLARY GROWTH 4	MAX4	At4g32810	دی‌اکسیتاز شکاف دهنده کاروتینید ۸ (CCD8)
PINFORMED 1	PIN1	At1g73590	پروتئین حامل جریان اکسین Auxin efflux carrier family
REGULATOR OF AXILLARY MERISTEMS 1	RAX1	At5g23000	فاکتور رونویسی Myb37
REGULATOR OF AXILLARY MERISTEMS 2	RAX2	At2g36890	فاکتور رونویسی Myb38
REGULATOR OF AXILLARY MERISTEMS 3	RAX3	At3g49690	فاکتور رونویسی Myb84
REVOLUTA	REV	At5g60690	پروتئین زیپ‌دار لیوسین Homeodomain Leucine Homeobox -leucine zipper protein
SUPERSHOOT 1	SPS1	At1g16410	ستوکروم (CYP79F1) p450
SHOOT MERISTEMLESS	STM	At1g62360	Cytochrome p450 (CYP79F1)
TERMINAL FLOWER 1	TFL1	At5g03840	پروتئین تعیین کننده گل انتهایی Knotted-like homeodomain protein Terminal flower 1 protein
TRANSPORT INHIBITOR RESPONSE	TIR1	At3g62980	پروتئین F-box

داده شدند (جدول ۱).

الگوی نواربندی حاصل از ترکیب آغازگری MOC1R3/Ga5 مورد استفاده توسط روجاس-باروس و همکاران (Rojas-Barros *et al.*, 2008) بین دو بالک در شکل ۱ نشان داده شده است. با استفاده از این جفت آغازگر، نوارهایی با وزن مولکولی حدود ۷۵۰ جفت باز و ۶۵۰ جفت باز در بالک چند شاخه‌های دیده شد، درحالی که بالک تک شاخه‌ها قادر به تکثیر هیچ قطعه‌ای توسط این جفت آغازگر نبود.

استفاده از جفت آغازگر CTG5177L/Odd26 نیز منجر به مشاهده تکثیر چند نوار در بالک تک شاخه

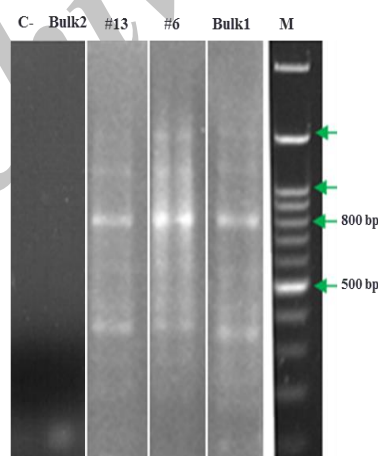
از این تلاقی‌ها با لاین نگهدارنده تک شاخه نیز در جدول ۱ ارائه شده است. نتایج نشان داد که تمامی افراد نسل تلاقی برگشتی از کلیه تلاقی‌ها وارد یک طبق انتهایی بودند. تلاقی انواع بوته‌های تک و چند شاخه از لاین نگه دارنده B-19 با بوته‌های تک و چندشاخه از لاین نر عقیم A-19 منجر به ایجاد بوته‌های تک شاخه در سال بعد گردید. از آنجا که در تمامی لاین‌های مورد آزمون، ژن برگشت دهنده باروری وجود نداشت، تمامی نتایج نسل اول این تلاقی‌ها عقیم بودند، بنابراین برای امکان تداوم تلاقی‌ها، نتایج نسل اول همگی به عنوان پایه مادری با لاین نگهدارنده تک شاخه، به عنوان پایه پدری تلاقی



شکل ۱- الگوی نواربندی بین دو بالک تک شاخه (Bulk1) و چندشاخه (Bulk2) با استفاده از جفت آغازگر  
C- کنترل منفی و M نشانگر وزن مولکولی 1Kb است

Fig 1. Banding pattern between two bulks single head (Bulk1) and multi heads (Bulk2) created using primer pairs MOC1R3/Ga5. C: stands for negative control. M: 1Kb molecular size marker

مشابه با الگوی نواربندی بالک تک شاخه ها بود  
و عدم تکثیر در بالک چندشاخه ها گردید. در حالی  
که الگوی نواربندی دو تک بوته مشکوک  
(شکل ۲).

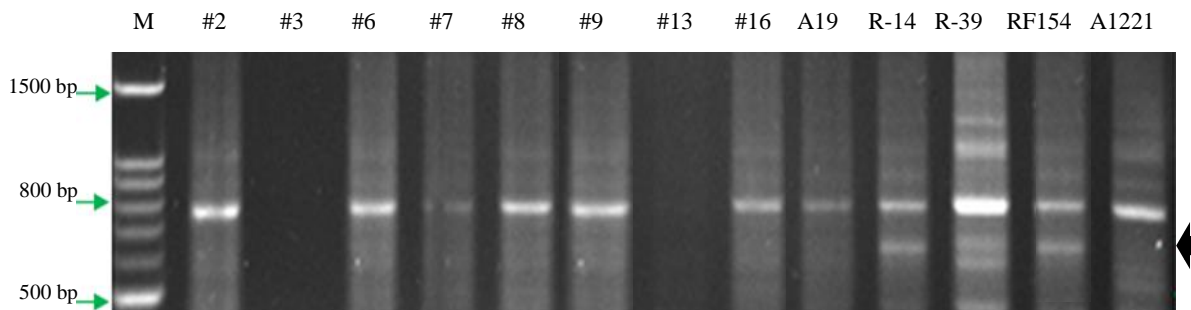


شکل ۲- الگوی نواربندی حاصل از PCR با استفاده از جفت آغازگر CTG5177L/Odd26 در بالک چند شاخه ها  
(Bulk2)، بالک تک شاخه ها (Bulk1) و دو تک بوته مشکوک #13 و #6. C-: کنترل منفی، M: نشانگر وزن  
مولکولی 1Kb

Fig 2. Banding patterns derived by PCR using primer pairs CTG5177L/Odd26 in multi heads (Bulk 2), single heads (Bulk1), and two suspicious plants #13 and #6. C-: negative control. M: 1Kb molecular size marker

و دو لاین تک شاخه با استفاده از جفت آغازگر MOC1R3/Ga5 مورد بررسی قرار گرفتند (شکل ۳).

پس از مشاهده الگوی نواری بندی بین بالکهای تک شاخه و چند شاخه، الگوی نواربندی بین تک بوتهای مشکوک (۸ مورد)، سه لاین چند شاخه



شکل ۳- الگوی نواربندی حاصل از PCR با استفاده از جفت آغازگر MOC1R3/Ga5 میان تک بوتهای مشکوک (با # نشان داده شده اند، رجوع به جدول ۱)، سه لاین چند شاخه واقعی (R-14، R-39 و RF154) و دو لاین تک شاخه واقعی (A19 و A1221). نوار متمایز کننده لاینهای تک شاخه از چند شاخه، با علامت پیکان در سمت راست ژل مشخص شده است

M: نشانگر وزن مولکولی 1Kb

Fig 3. Banding pattern derived by PCR using primer pairs MOC1R3/Ga5 between suspicious plants (indicated by #, Table 1), three real multi head lines (RF154, R-39, and R-14) and two real single head lines (A1221 and A19).

Band differentiating single head from multi head lines is indicated by arrow at the right side of the gel

M: 1Kb molecular size marker

در فرایندهای نموی (که شاخه‌دهی از آن جمله محسوب می‌شود) و یا پاسخ به عوامل محیطی بودند، مورد توجه قرار گرفتند که شامل DRE1COREZMRAB17، ABREATCONSENSUS، MYB2AT) MYB1AT، LTRECOREATCOR15 و MYBATRD22، MYB2CONSENSUSAT SREATMSD (MYBCORE عناصر به همراه تعداد آنها در پرموتر ژن‌های دخیل در شاخه‌دهی آراییدوپسیس در جدول ۴ ارائه شده است. چند شاخگی پدیدهای است که تحت کنترل عوامل ژنتیکی و محیطی متعددی قرار دارد Leyser 2009, Malamy 2005, Nakamura *et al.*, (2013, Takeda *et al.*, 2003, Terzić *et al.*, 2006 شناسایی سازوکارهای مولکولی دخیل در فرایند

بر اساس شکل ۳، نواری با اندازه حدود ۶۵۰ جفت باز در سه لاین چند شاخه وجود داشت، در حالی که این نوار در لاینهای تک‌شاخه و تک بوتهای مشکوک وجود نداشت.

حضور و فراوانی عناصر سیس در توالی پرموتر ژن‌های عامل چند شاخگی مورد بررسی قرار گرفتند، لیکن با توجه به اینکه اطلاعات ژنی و ژنومیک آفتابگردان هنوز کامل نشده است، در این آزمایش از اطلاعات گیاه مدل آراییدوپسیس استفاده شد. تعداد هر یک از عناصر سیس در پرموتر ژن‌های دخیل در شاخه‌دهی در آراییدوپسیس در جدول ۴ ارائه شده است. در پرموتر ژن‌ها، تعداد زیادی عنصر سیس وجود دارد، لیکن در این آزمایش صرفاً عناصری که محل اتصال عوامل رونویسی دخیل

" ارزیابی علل بروز چند شاخگی در لاین مادری..."

جدول ۴- انواع عناصر سیس واکنش دهنده به شرایط محیطی و دخیل در فرایندهای نموی و تعداد آنها در نواحی پروموتوری ژن‌های مسئول شاخه‌دهی در گیاه آرابیدوپسیس

Table 5. Cis-elements responsive to environmental condition and involved in developmental stages and their respected number promoters of branching genes in

Arabidopsis

Genes	Cis elements								عناصر سیس
	ABRE	DRE	LTRE	SRE	MYB1AT	MYB2AT	MYB2CONSENSUSAT	MYBATRD22	
<i>AXR1</i>	-	2	4	2	8	1	4	-	11
<i>LAS</i>	1	2	2	2	4	-	-	1	3
<i>LFY</i>	3	-	3	2	2	3	5	1	9
<i>MAX1</i>	1	-	1	1	6	1	4	-	-
<i>MAX2</i>	1	2	2	2	7	1	1	1	3
<i>MAX3</i>	1	5	4	3	3	1	4	1	-
<i>MAX4</i>	-	-	2	2	6	-	2	-	-
<i>PIN1</i>	-	2	2	2	9	-	5	2	10
<i>RAX1</i>	-	-	2	2	4	1	2	-	-
<i>RAX2</i>	-	-	-	-	8	1	4	-	10
<i>RAX3</i>	1	-	-	-	7	-	2	-	4
<i>REV</i>	-	3	3	1	3	1	2	-	5
<i>SPS1</i>	-	2	8	6	7	2	3	1	6
<i>STM</i>	-	-	3	5	7	3	4	1	7
<i>TFL1</i>	-	5	12	-	13	-	-	-	11
<i>TIR1</i>	2	1	3	2	4	-	1	-	7

آزمون قرار گرفتند. از این بین فقط دو جفت آغازگر قادر به تمایز بین این دو بالک بودند، بنابراین این آغازگرها قابلیت تمایز کردن لاین‌های چندشاخه واقعی از لاین‌های تک شاخه را دارا می‌باشند. در یکی از این آغازگرها، تک بوته‌های مشکوک و لاین‌های تک شاخه در یک گروه قرار گرفتند، در حالی که لاین‌های چندشاخه الگوی منحصر به فرد داشتند. با توجه به اینکه با استفاده از نشانگرهای معرفی شده توسط این محققان، شباهتی در الگوی نواربندی بین تک بوته‌های مشکوک و لاین‌های چندشاخه واقعی مشاهده نشد و الگوی نواربندی بین لاین‌های تک شاخه واقعی و تک بوته‌های مشکوک مشابه بود، به نظر می‌رسد که بروز چندشاخگی در لاین A-19 احتمالاً ناشی از عدم وجود کنترل ژنتیکی بوده باشد.

ارزیابی‌های ژنتیکی و مقایسه الگوی نواربندی در لوکوس‌های مرتبط با چندشاخگی بین لاین‌های چندشاخه واقعی، لاین‌های تک شاخه واقعی و نیز تک بوته‌های مشکوک، احتمالاً ناشی از عدم دخالت عوامل ژنی در ظهرور پدیده چندشاخگی در لاین A-19 است. با این حال، برای بررسی بیشتر علل این پدیده و با توجه به حفاظت شدگی زیاد سازوکارهای موثر در شاخه‌دهی گونه‌های مختلف ژن‌های شناسایی شده موثر در شاخه دهی از نظر وجود عناصر سیس کنترل کننده پاسخ گیاهان به عوامل نموی و تنفس‌های غیر زنده در گیاه مدل آراییدوپسیس انجام گرفت. بعنوان مثال ABRE عنصر پاسخ به اسید آبسیسیک (ABA) است که دخالت آن در مسیرهای انتقال پیام‌نشهای غیرزیستی به اثبات رسیده است (Yamaguchi-Shinozaki and Shinozaki 2005). عنصر DRE توالي از پرومومتر است که نقش اساسی در پاسخ ژن‌ها به شرایط تنفس اسمزی، کم آبی و نیز دماهای پایین ایفا می‌کند (Nakashima *et al.*, 2009). عنصر LTR پاسخ دهی گیاه به دمای پایین را کنترل

شاخه‌دهی در بسیاری از گیاهان مورد مطالعه قرار گرفته است، با این حال در خصوص گیاه آفتابگردان هنوز سازوکار و ژن‌های موثر در شاخه‌دهی شناسایی نشده است. به همین دلیل بررسی وقوع پدیده چندشاخگی در لاین اینبرد A-19 که والد مادری هیبرید داخلی آذرگل است، نیازمند بررسی‌های ژنتیکی، مولکولی و بیواینفورماتیکی بود. تلاقی بین افراد با فتوتیپ متفاوت و ردیابی فتوتیپ مورد نظر در نسل‌های در حال تفرق ( $F_2$  یا BC) با در نظر گرفتن نسبت‌های فتوتیپی، از دیر باز به عنوان یک روشی کارآمد برای استنتاج ماهیت و روابط ژنی دخیل در بروز پدیده‌ها مطرح بوده است (Hockett and Knowles 1970). با توجه به ضعیف بودن لاین‌های اینبرد که پیامد چندین نسل خویش‌آمیزی هستند، تعداد نتاج حاصل از تلاقی بین بوته‌های یک لاین اینبرد اغلب کم است (جدول ۱)، با این حال مشاهده فتوتیپ صدرصد تک شاخه بین نتاج همه تلاقی‌ها می‌تواند گواهی بر عدم دخالت عوامل ژنتیکی هسته‌ای در بروز پدیده چندشاخگی در لاین مورد آزمایش باشد (جدول ۱). همچنین مشاهده نتایج یکسان در نتاج تلاقی‌های برگشتی (جدول ۱)، نشان دهنده عدم دخالت عوامل خارج هسته‌ای در بروز این پدیده است.

هرچند اطلاعات مولکولی در خصوص ژن‌های عامل شاخه‌دهی در آفتابگردان اخیراً منتشر شده است (Baute *et al.*, 2015, Mandel *et al.*, 2014, Nambeesan *et al.*, 2015), اما ردیابی مولکولی ژن‌های عامل چندشاخگی در آفتابگردان از چند سال پیش آغاز شده و برای تعدادی از آن‌ها نشانگرهای مولکولی طراحی شده است (Rojas-Barros *et al.*, 2008). در این پژوهش نخست جفت آغازگرها بی که توسط Rojas-Barros و همکاران برای تمایز بین لاین تک شاخه و چندشاخه مورد استفاده قرار گرفته بودند، بین دو بالک DNA (یکی مشکل از لاین‌های چندشاخه و دیگری از لاین‌های تک شاخه) مورد

## بذر، مکاتبات شخصی).

ارزیابی‌های ژنتیکی با حضور تک بوته‌های تک‌شاخه و تک بوته‌های مشکوک، دوشاخه، و سه‌شاخه (شاخه دهی از بالای گیاه) و ارزیابی بر اساس نشانگرهای مولکولی، دلالت بر عدم وابستگی احتمالی فتوتیپ شاخه‌دار شدن لاین A-19 آفتابگردن به عوامل ژنتیکی، حداقل در بین مواد ژنتیکی آزمون شده در این آزمایش، دارد. از طرفی مشاهدات *in silico* روی ناحیه پروموتوری ژن‌های عامل شاخه‌دهی در سایر گیاهان و نیز در نظر گرفتن این حقیقت که سازوکار مولکولی چندشاخگی در بین گیاهان مختلف تا حد زیادی حفظ شده است، احتمال ایفای نقش عناصر سیس پاسخ دهنده به شرایط محیطی نظیر خشکی و سرما در ژن‌های مسئول چندشاخگی در آفتابگردن را مطرح می‌نماید. نتایج تحقیقات منتشر نشده محققان اصلاح آفتابگردن (فرخی و خدابنده، موسسه تحقیقات اصلاح و تهیه نهال و بذر، مکاتبات شخصی) نیز نشان دهنده تاثیر عواملی نظیر دماهای پایین در چند شاخه شدن بوته‌های آفتابگردن دارد. در پژوهش حاضر دلیل کافی برای وجود اثرات ژنی برای بروز پدیده چندشاخگی از بالای بوته‌های لاین A-19 آفتابگردن بدست نیامد و بر عکس، نتایج تحقیقات *in silico* بر اهمیت اثر عوامل محیطی نظیر دماهای پایین و خشکی بر بروز این پدیده دلالت دارند.

این تحقیق در نوع خود از اولین پژوهش‌های مربوط به شناسایی علل پدیده چندشاخگی در یک لاین اینبرد در آفتابگردن است و هرچند شواهد مولکولی ارائه شده باید با روش‌های تکمیلی مانند ابزارهای ترانسکریپتومیکس و پروتئومیکس آزمون شوند، دلایل ژنتیکی ارائه شده از استحکام خوبی برخوردار است و می‌تواند به عنوان معیاری برای برآورده برداری در تایید مزارع تولید بذر والد مادری هیبرید آفتابگردن آذرگل توسط موسسه تحقیقات ثبت و گواهی بذر و نهال استفاده شده

می‌کند (Dang *et al.*, 2011, Yamaguchi-Shinozaki 2005 and Shinozaki 2005) و SRE یک عنصر پاسخ دهنده به قند است که در پرموتور ژن‌هایی دیده شده که بعد از قطع ساقه اصلی در آراییدوپسیس، دچار کاهش بیان می‌شوند (Tatematsu *et al.*, 2005, ATMYB2 عنصری است که محل اتصال عامل رونویسی ژن‌های پاسخ دهنده به تنفس خشکی دخالت دارد و از طرفی در تنظیم پیری، با سازوکار غالیت انتها یی، از طویل شدن جوانه‌های جانبی جلوگیری می‌کند (Harb, 2010). MYB1AT, MYBATRD22 و MYB2CONSENSUS هر سه عنصر جایگاه تشخیص و اتصال MYB هستند که در پرموتورهای ژن rd22 و بسیاری دیگر از ژن‌های پاسخ به تنفس خشکی و کم آبی در آراییدوپسیس یافت می‌شوند و دخالت آنها در مسیرهای انتقال پیام پاسخ گیاهان به تنفس‌های غیرزیستی اثبات شده است (Akagi *et al.*, 2009). تعداد این عناصر در پرموتور یک ژن مورد نظر نشان می‌دهد که چندین محل احتمالی اتصال برای فاکتورهای رونویسی متعددی که بیان آن‌ها تحت شرایط محیطی متفاوت القا شده است، وجود دارد. برای مثال، حضور ۱۳ عنصر MYB1AT و ۱۱ عنصر MYBCORE در پرموتور ژن *TFL1* که خود یک پروتئین فاکتور رونویسی را رمز می‌کند، نشان دهنده محل اتصال بسیاری از فاکتورهای رونویسی است که هر کدام تحت شرایط متفاوتی ممکن است به این قسمت از پرموتور متصل شوند و فتوتیپ متفاوتی را برای ژن ایجاد کند. همچنین، حضور ۱۲ عنصر LTRE در ناحیه پرموتوری همین ژن، نشان می‌دهد که بیان این ژن احتمالاً تحت شرایط دمایی پایین قرار می‌گیرد که با مشاهدات افزایش بروز شاخه دهی در ارقام مختلف آفتابگردنی که دیر هنگام کشت شده بوده و در مرحله گله‌ی با سرمای پاییز مصادف شده بودند، مطابقت دارد (فرخی، موسسه تحقیقات اصلاح و تهیه نهال و

بخشی از این تحقیق در پژوهشکده ژنتیک و زیست  
فن آوری طبرستان، ساری، انجام گرفت که بدینوسیله  
تشکر و قدردانی می شود.

و وقوع این پدیده، اختلاط و یا ناخالصی ژنتیکی  
تلقی نشود.

### تشکر و قدردانی

## References

## منابع مورد استفاده

- Akagi, T., A. Ikegami, T. Tsujimoto, S. Kobayashi, A. Sato, A. Kono and K. Yonemori.** 2009. DkMyb4 is a Myb transcription factor involved in panthocyanidin biosynthesis in psimmon fruit. *Plant Physiol.* 151: 2028–2045.
- Baute, G. J., N. C. Kane, C. J. Grassa, Z. Lai and L. H. Rieseberg.** 2015. Genome scans reveal candidate domestication and improvement genes in cultivated sunflower, as well as post-domestication introgression with wild relatives. *New Phytol.* 206: 830–838.
- Burke, J. M., S. Tang, S. J. Knapp and L. H. Rieseberg.** 2002. Genetic analysis of sunflower domestication. *Genetics*, 161: 1257-1267.
- Cheng, D., F. Zhang, L. Liu, L. Xu, Y. Chen, W. Wang, C. Limera, R. Yu and Y. Gong.** 2013. TRAP markers generated with resistant gene analog sequences and their application to genetic diversity analysis of radish germplasm. *Scientia Hortic.* 161: 153-159.
- Dang, H. Q., N. Q. Tran, R. Tuteja and N. Tuteja.** 2011. Promoter of a salinity and cold stress-induced MCM6 DNA helicase from pea. *Plant Signal Behav.* 6: 1006–1008.
- FAO.** 2014. FAO Year Book Statistics.
- Fehr, W. R., E. L. Fehr and H. J. Jessen.** 1987. Principles of Cultivar Development: Theory and Technique: Macmillan.
- Fick, G. N. and J. F. Miller.** 1997. Sunflower breeding. In Sunflower Technology and Production *in:* Schneiter, A. A. (Ed.) Madison, Wisconsin, USA, CSSA, and SSSA.
- Franks, S. J. and A. A. Hoffmann.** 2012. Genetics of climate change adaptation. *Annu. Rev. Genet.* 46: 185-208.
- Harb, A. M.** 2010. Dissection of drought responses in Arabidopsis. *In:* Virginia Polytechnic Institute. Virginia: Virginia Polytechnic Institute and State University.
- Heiser, C. B.** 1954. Variation and subspeciation in the common sunflower, *Helianthus annuus*. *Am. Midland Nat.* 51: 287-305.
- Hockett, E. A. and P. F. Knowles.** 1970. Inheritance of branching in sunflowers, *Helianthus annuus* L. *Crop Sci.* 10: 432-436.
- Kovacik, A. and V. Skaloud.** 1990. Results of inheritance evaluation of agronomically important traits in sunflower. *Helia*, 13: 41-46.

" ارزیابی عمل بروز چند شاخگی در لاین مادری..."

- Leyser, O.** 2009. The control of shoot branching: an example of plant information processing. *Plant Cell Environ.* 32: 694-703.
- Li, J. T., J. Yang, D. C. Chen, X. L. Zhang and Z. S. Tang.** 2007. An optimized mini-preparation method to obtain high-quality genomic DNA from mature leaves of sunflower. *Genet. Mol. Res.* 6: 1064-1071.
- Liu, Q. A.** 2013. The impact of climate change on plant epigenomes. *Trend. Genet.* 29: 503-505.
- Malamy, J. E.** 2005. Intrinsic and environmental response pathways that regulate root system architecture. *Plant Cell Environ.* 28: 67-77.
- Mandel, J. R., E. V. McAssey, S. Nambeesan, E. Garcia-Navarro and J. M. Burke.** 2014. Molecular evolution of candidate genes for crop-related traits in sunflower (*Helianthus annuus* L.). *PLoS ONE*, 9: e99620.
- Nakamura, H., Y. L. Xue, T. Miyakawa, F. Hou, H. M. Qin, K. Fukui, X. Shi, E. Ito, S. Ito, S. H. Park, Y. Miyauchi, A. Asano, N. Totsuka, T. Ueda, M. Tanokura and T. Asami.** 2013. Molecular mechanism of strigolactone perception by DWARF14. *Nat. Commun.* 4: 2613.
- Nakashima, K., Y. Ito and K. Yamaguchi-Shinozaki.** 2009. Transcriptional regulatory networks in response to abiotic stresses in Arabidopsis and grasses. *Plant Physiol.* 149: 88-95.
- Nambeesan, S. U., J. R. Mandel, J. E. Bowers, L. F. Marek, D. Ebert, J. Corbi, L. H. Rieseberg, S. J. Knapp and J. M. Burke.** 2015. Association mapping in sunflower (*Helianthus annuus* L.) reveals independent control of apical vs. basal branching. *BMC Plant Biol.* 15: 84.
- Putt, E. D.** 1940. Observation on morphological characters and flowering process in the sunflower (*Helianthus annuus* L.). *Sci. Agric.* 21: 167-179.
- Putt, E. D.** 1964. Recessive branching in sunflowers. *Crop Sci.* 4: 444-445.
- Rojas-Barros, P., J. Hu and C. C. Jan.** 2008. Molecular mapping of an apical branching gene of cultivated sunflower (*Helianthus annuus* L.). *Theor. Appl. Genet.* 117: 19-28.
- Terzic, S., M. Zoric and F. Miladinovic.** 2006. Phenotype variability and inheritance of plant height and branching in F1 generation of sunflower. *Helia,* 44: 87-94.
- Sanda, I., A. V. Vraneanu and M. Pacureanu-Joila.** 1999. Analysis of the genetic control of branching types in sunflower (*Helianthus annuus* L.). *Roman. Agric. Res.* 11-12: 17-19.
- Shull, G. H.** 1908. Some new cases of Mendelian inheritance. *Bot. Gaz.* 45: 103-116.
- Takeda, T., Y. Suwa, M. Suzuki, H. Kitano, M. Ueguchi-Tanaka, M. Ashikari, M. Matsuoka and C. Ueguchi.** 2003. The *OsTB1* gene negatively regulates lateral branching in rice. *Plant J.* 33: 513-520.
- Tatematsu, K., S. Ward, O. Leyser, Y. Kamiya and E. Nambara.** 2005. Identification of cis-elements that regulate gene expression during Initiation of axillary bud outgrowth in Arabidopsis. *Plant Physiol.* 138: 57-766.
- Terzić, S., M. Zorić and F. Miladinović.** 2006. Phenotype variability and inheritance of plant height and branching in F1 generation of sunflower. *Helia,* 29: 87-94.

- Yaish, M. W., D. R. Guevara, A. El-kereamy and S. J. Rothstein.** 2010. Axillary shoot branching in plants. In: E. C. Pua and M. R. Davey (Eds.). Plant Developmental Biology - Biotechnological Perspectives, Vol 1. pp.37-52. Springer.
- Yamaguchi-Shinozaki, K. and K. Shinozaki.** 2005. Organization of cis-acting regulatory elements in osmotic- and cold-stress-responsive promoters. Trends Plant Sci. 10: 88-94.

Archive of SID

## Assessment of branching phenomenon in the female parental inbred line of hybrid sunflower (*Helianthus annus* L.) cv. Azargol

Sajadi, S. M.<sup>1</sup>, M. Soltani Najafabadi<sup>2</sup> and B. Maleki Zanjani<sup>3</sup>

### ABSTRACT

**Sajadi, S. M. M. Soltani Najafabadi and B. Maleki Zanjani.** 2017. Assessment of branching phenomenon in teh female parental inbred line of hybrid sunflower (*Helianthus annus* L.) cv. Azargol. **Iranian Journal of Crop Sciences.** 19(3): 255-269. (In Persian).

Maintenance of genetic purity of parents of hybrid is important in hybrid development and commercialization. Branching phenotype in maternal line of Azargol, an Iranian sunflower hybrid, is a challenging. This experiment was carried out to understand thaе basis of this phenomenon, and included three phases. Genetic phase, all possible crosses between plants possessing one, two, and/or three heads (suspicious plants) were made during 2013 to 2015 in Seed and Plant Improvement Institute, Iran and their progenies were backcrossed to single-headed parent. Molecular phase, previously published branching-linked molecular markers were evaluated on individuals from the parents, original single -headed, and original multi head genotypes. Bioinformatics phase, presence of environmentally responsive *cis*-regulatory elements in the promoters of branching genes characterized in other plant species were investigated. Genetic analysis indicated that progenies of all crosses (239 indivudials) appeared to be single headed plants. Similar banding pattern was observed among suspicious plants and original single-headed lines, but differed from original multi head genotypes. At least one *cis*-regulatory elements responding to cold and drought stress were found in the promoters of branching genes in other plant species. Results of the three phases of this experiment revealed insufficient evidence to attribute the branching phenotype in the inbredline of interest to genetic factors.

**Key words:** Branching, *cis*-elements, Molecular markers and Sunflower.

---

**Received:** May 2017      **Accepted:** October 2017

1. Former MSc student, Zanjan University, Zanjan, Iran

2. Assistant Prof., Seed and Plant Improvement Institute (SPII), Agricultural Research, Education and Extension Organization (AREEO), Karaj, Iran (Corresponding author) (Email: m.soltanioil@yahoo.com)

3. Assistant Prof., Zanjan Univesrsiy, Zanjan, Iran